

De regulatorer som vi analyserat i kursen

- PID 
$$u(t) = K \left( e(t) + \frac{1}{T_i} \int_0^t e(z) dz + T_d \frac{de(t)}{dt} \right)$$

- lead-lag 
$$U(s) = K \frac{z_0 s + 1}{\beta z_0 s + 1} \frac{z_1 s + 1}{z_2 s + 1} E(s)$$

- Tillstånd återkoppling och observatör

$$\begin{aligned} u &= -Kx + r \\ \dot{\hat{x}} &= A\hat{x} + Bu + K(y - C\hat{x}) \end{aligned}$$

för

$$\begin{cases} \dot{x} = Ax + Bu \\ y = Cx \end{cases}$$

är kontinuerliga i tid.

Dessa samband kan implementeras praktiskt m.h.t.

t.ex. analog elektriska eller mekaniska kretsar.

Nuförtiden implementeras oftast regulatorer m.h.t. datorer, som arbetar diskret.

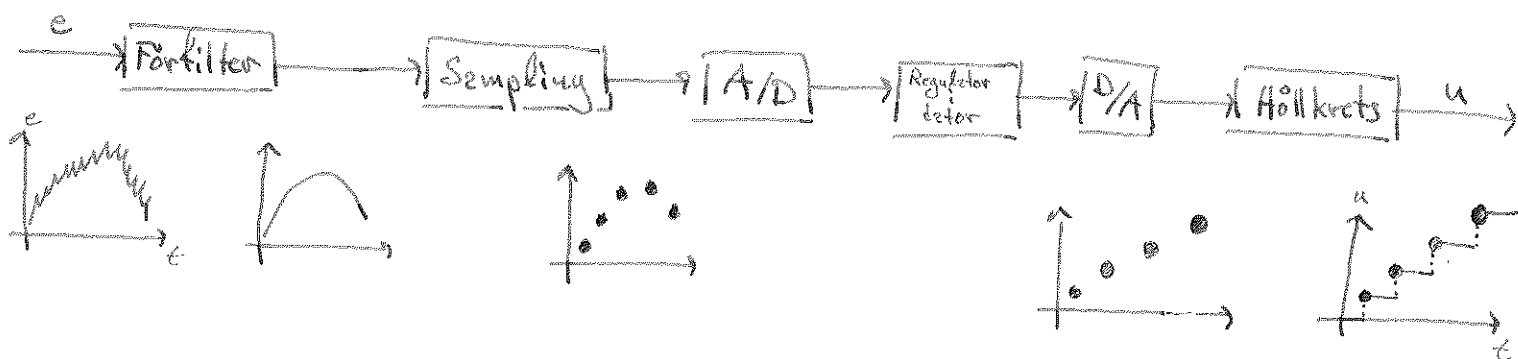
För analog implementation:

Hitta ett fysiskt system vars uppförande beskrivs av en differentialekvation ~~är samma form~~ som regulatorn. Tolk sedan värden i det fysiska systemet som  $e$  och  $u$ , och koppla på något sätt samman med systemet som önskas regleras.

Vid datorimplementation byts regulator blocket



ut mot

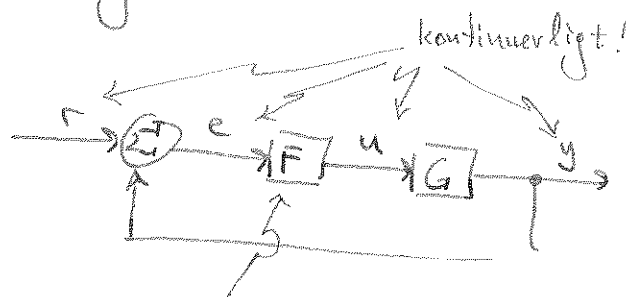


Vi approximerar de kontinuerliga differentialekvationerna som beskriver system och regulator med diskreta differensekvationer, som kan implementeras i



OBS!

Systemet vi reglerar är fortfarande kontinuerligt!



insignal (e) och utsignal (u) är kontinuerliga! Men internt implementeras regleringen diskret!

## Diskret approximation av derivata

- Euler bakt  $\Delta_t x(t) =$

$$\dot{x}(t) \approx \frac{1}{T} (x(t) - x(t-T))$$

- Tustin's formel (rekursiv)

$$\dot{x}(t) \approx \Delta_t x(t)$$

där

$$\frac{1}{2} (\Delta_t x(t) + \Delta_t x(t-T)) = \frac{1}{T} (x(t) - x(t-T))$$

- och  $\Delta_t x(0) = 0$ .

## Operatornotation

Inför

- Deriveringsoperator  $p$ :

$$\frac{d}{dt} x(t) = \dot{x}(t) = p x(t)$$

- Förskjutningsoperator  $q_T$ :

$$x(t+T) = q_T x(t)$$

$$x(t-T) = q_T^{-1} x(t)$$

4  
Vi kan så omformulera Euler bekst som

$$\dot{x}(t) = p x(t)$$

$$\begin{aligned}\dot{x}(t) &\approx \Delta_t x(t) = \frac{1}{T} (x(t) - x(t-T)) = \\ &= \frac{1}{T} (1 - q_T^{-1}) x(t)\end{aligned}$$

$$\Rightarrow \boxed{P \approx \frac{1}{T} (1 - q_T^{-1}) \quad \text{för Euler bekst}} \quad (10.16) \quad \text{s. 213}$$

och Tustin som:

$$\frac{1}{2} (\Delta_t x(t) + \Delta_t x(t-T)) = \frac{1}{T} (x(t) - x(t-T)) \Rightarrow$$

$$\frac{1}{2} (1 + q_T^{-1}) \Delta_t x(t) = \frac{1}{T} (1 - q_T^{-1}) x(t) \Rightarrow$$

$$\Delta_t x(t) = \frac{2}{T} \frac{1 - q_T^{-1}}{1 + q_T^{-1}} x(t)$$

Kom ihåg  $p x(t) = \dot{x}(t) \approx \Delta_t x(t)$ , så

$$\boxed{P \approx \frac{2}{T} \frac{1 - q_T^{-1}}{1 + q_T^{-1}} \quad \text{för Tustin}} \quad (10.17) \quad \text{s. 213}$$

## Sampling

- Samplingintervall,  $T$
- Samplingfrekvens,  $\omega_s$

$$\omega_s = \frac{2\pi}{T}$$

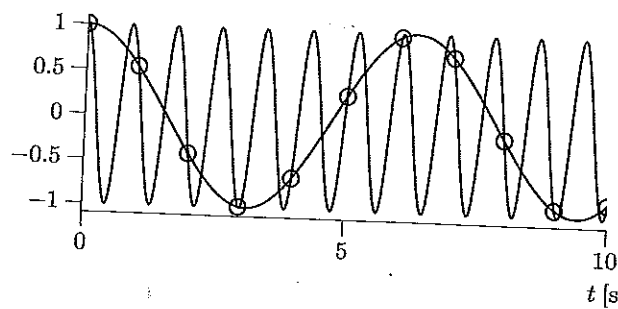
- Nyquistfrekvens,  $\omega_N$

$$\omega_N = \frac{\omega_s}{2} = \frac{\pi}{T}$$

dvs. halvt samplingfrekvensen.

## Aliaseffekten

Vid sampling kan inte frekvenser snabbare (i.e. större) än  $\omega_N$  skiljas från frekvenser under  $\omega_N$ .



(s. 218)

Varje gång systemet  
samples, dvs. vid  $t = T, 2T, 3T, \dots$  antar bōd2  
konstant samma värde.

⇒ Kan ej skiljas!

Givet ett  $y(t) = u(t)$  och ett  $u(t) = u_k$   
 för  $kT \leq t < (k+1)T$ .

Vi söker  $y_{k+1} = y((k+1)T)$ .

Kom ihåg

$$z(t) = \underbrace{z(t_0)}_{\text{värde i } t_0} + \underbrace{\int_{t_0}^t \dot{z}(r) dr}_{\text{ändring mellan } t_0 \text{ och } t}$$

$$\begin{aligned} &= z(t_0) + [\dot{z}(r)]_{r=t_0}^t = \\ &= z(t_0) + z(t) - z(t_0) \\ &= z(t) \end{aligned}$$

Vi skriver

$$y_{k+1} = y((k+1)T) = y(kT) + \int_{kT}^{(k+1)T} \dot{y}(r) dr = \int \dot{y} = u \int =$$

$$= y(kT) + \int_{kT}^{(k+1)T} u(r) dr = \int \left. \begin{array}{l} u \text{ konstant} \\ \text{p? detta intervall} \end{array} \right\} =$$

$$= y(kT) + u_k \underbrace{\int_{kT}^{(k+1)T} dr}_{=T} = y_k + T \cdot u_k.$$

b, P-regulatorn  $u_k = -K y_k$  insett :  
 följande ekvation ger

$$\begin{aligned} y_{k+1} &= y_k + T u_k = y_k + T(-K y_k) = \\ &= (1 - TK) y_k. \end{aligned}$$

Vi har då rekursivt ett

$$y_0 = y(0) \leftarrow \text{given}$$

$$y_1 = (1 - TK) y_0$$

$$y_2 = (1 - TK) y_1 = (1 - TK)(1 - TK) y_0 = (1 - TK)^2 y_0$$

$\vdots$

$$y_n = (1 - TK)^n y_0$$

Systemet är stabilt om utsignalen inte går mot oändligheten, dvs.

$$\lim_{n \rightarrow \infty} |y_n| < \infty \Rightarrow$$

$$\lim_{n \rightarrow \infty} |1 - TK|^n |y_0| < \infty \Rightarrow \{y_0 \neq \infty\}$$

$$|1 - TK| \leq 1 \Rightarrow$$

$$-1 \leq 1 - TK \leq 1 \Rightarrow$$

$$-2 \leq -TK \leq 0 \Rightarrow$$

$$\frac{2}{T} \geq K \geq 0$$



# Uppg 11.1

I tidsdomänen skriver

$$U(s) = KN \frac{s+b}{s+bN} E(s)$$

mot

$$sU(s) + bN U(s) = KN (sE(s) + bE(s)) \xrightarrow{\mathcal{L}^{-1}}$$

$$\dot{u}(t) + bN u(t) = KN (\dot{e}(t) + b e(t)).$$

Använder vi nu operatornotationen och  
Tustin approximation för derivata

$$p \approx \frac{2}{T} \frac{1 - q_T^{-1}}{1 + q_T^{-1}}$$

(10.17) s. 213

för

$$p u(t) + bN u(t) = KN (p e(t) + b e(t)) \Rightarrow$$

$$\frac{2}{T} \frac{1 - q_T^{-1}}{1 + q_T^{-1}} u(t) + bN u(t) = KN \frac{2}{T} \frac{1 - q_T^{-1}}{1 + q_T^{-1}} e(t) + KN b e(t) \Rightarrow$$

$$\frac{2}{T} (1 - q_T^{-1}) u(t) + bN (1 + q_T^{-1}) u(t) = \frac{2KN}{T} (1 - q_T^{-1}) e(t) + KN b (1 + q_T^{-1}) e(t) \Rightarrow$$

$$u(t) \left[ \frac{2}{T} + bN \right] + \underbrace{q_T^{-1} u(t)}_{= u(t-T)} \left[ -\frac{2}{T} + bN \right] = e(t) \left[ \frac{2KN}{T} + KN b \right] + \underbrace{q_T^{-1} e(t)}_{= e(t-T)} \left[ -\frac{2KN}{T} + KN b \right] \Rightarrow$$

$$\left[ \frac{2}{T} + bN \right] u(t) = \left[ \frac{2}{T} - bN \right] u(t-T) + KN \left[ \frac{2}{T} + b \right] e(t) + KN \left[ -\frac{2}{T} + b \right] e(t-T)$$

das. om  $u(t)$  löses ut

$$u(t) = \underbrace{\frac{\frac{2}{T} - bN}{\frac{2}{T} + bN}}_{=\beta_1} u(t-T) + \underbrace{KN \frac{\frac{2}{T} + b}{\frac{2}{T} + bN}}_{=\alpha_1} e(t) + \underbrace{KN \frac{-\frac{2}{T} + b}{\frac{2}{T} + bN}}_{=\alpha_2} e(t-T).$$

vi identifierar parametrerna:

$$\beta_1 = \frac{2 - bNT}{2 + bNT}$$

$$\alpha_1 = \frac{2 + bT}{2 + bNT} NK$$

$$\alpha_2 = \frac{-2 + bT}{2 + bNT} NK$$

### Uppg 11.3

Vi samplar med samplingsintervall  $T$ .

Samplingsfrekvens är då  $\omega_s = \frac{2\pi}{T}$  och

Nyquistfrekvens  $\omega_N = \frac{\pi}{T}$ .

Alla signaler över  $\omega_N$  kommer upptäckas som  
lika frekvenser.

Vår insignal är

$$u = u_0 + u_1$$

↑  
frekvens

$$0 < \omega < \pi/T = \omega_N$$

↑  
frekvens

$$\omega_N = \frac{\pi}{T} < \omega_2 < \frac{2\pi}{T} = \omega_s$$

$u_0$ 's frekvens ligger under  $\omega_N$  och kommer  
inte upptäckas samband.  $u_1$ 's frekvens ligger över  
 $\omega_N$  och kommer upptäckas som signal under  $\omega_N$ .

Dvs.

$$y = y_0 + y_1 \quad \text{där } y_0 \text{ förs från } u_0$$

och  $y_1$  från  $u_1$ .

Vårt filter är LTI, så sinus in  $\rightarrow$  sinus ut gäller.

Vi är intresserade av hur  $u_1$  övergår till  $y_1$ .

$$u_1(t) = \sin \omega_2 t \quad \frac{\pi}{T} < \omega_2 < \frac{2\pi}{T}$$

Detta ger, innan sampling, en utsignal från filtret

$$\bar{y}_1(t) = \bar{A} \sin(\omega_2 t + \bar{\varphi})$$

där

$$\bar{A} = |G(i\omega_2)| = \left| \frac{1}{1+sT_1} \right|_{s=i\omega_2} = \frac{1}{\sqrt{1+\omega_2^2 T_1^2}}$$

och

$$\bar{\varphi} = \arg G(i\omega_2) = \arg \frac{1}{1+i\omega_2 T_1} =$$

$$= \arg 1 - \arg(1+i\omega_2 T_1) = -\underbrace{\arctan\left(\frac{\omega_2 T_1}{1}\right)}_{\bar{\varphi}}$$



Efter sampling har vi

$$y_i(kT) = \bar{y}_i(kT) = \bar{A} \sin(\omega_2 kT + \bar{\varphi})$$

↑  
signalen  
vi  
upptäcker

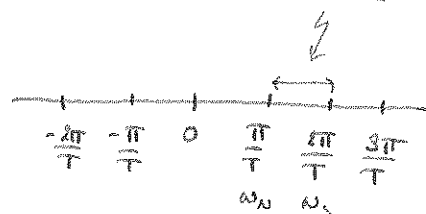
↑  
den faktiska  
signalen vi  
sampler

Vi vill nu skriva om detta så att frekvensen ligger mellan noll och  $\omega_N$  (eftersom vi vet att  $\omega_2$  kommer upptäckas där).

Vi gör detta genom att lägga till eller drar bort multiplar av samplingsfrekvensen.

$$y_i(kT) = \bar{A} \sin(\omega_2 kT + \bar{\varphi}) = \\ = \bar{A} \sin\left(\left(\omega_2 - \frac{2\pi}{T}\right)kT + \bar{\varphi}\right) =$$

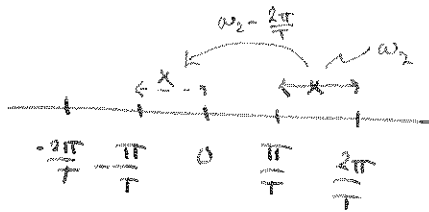
här ligger  $\omega_2$



men detta  
ändrar inte  
sinusen!

$$\bar{A} \sin(\omega_2 kT - 2\pi k + \bar{\varphi}) = \\ \bar{A} \sin(\omega_2 kT + \bar{\varphi})$$

$$= \left\{ \begin{array}{l} \left| \omega_2 - \frac{2\pi}{T} \right| < \omega_N \text{ men } \bar{\varphi} \text{ "fel" så det om noll} \\ \omega_2 - \frac{2\pi}{T} \end{array} \right.$$



$$= \left\{ \begin{array}{l} \sin(-x) \\ -\sin x \end{array} \right\} =$$

$$= -\bar{A} \sin \left( \left( \frac{2\pi}{T} - \omega_2 \right) kT - \bar{\varphi} \right) = \left\{ \sin(x+\pi) = -\sin x \right\} =$$

$$= \underbrace{\bar{A}}_{=A} \sin \left( \underbrace{\left( \frac{2\pi}{T} - \omega_2 \right) kT}_{=\omega_1} - \underbrace{\bar{\varphi}}_{=\varphi} + \pi \right) =$$

$$= A \sin(\omega_1 kT + \varphi)$$

där  $\omega_1 = \frac{2\pi}{T} - \omega_2$  är mellan vält och

Nyquist frekvensen,  $A = \bar{A} = \frac{1}{\sqrt{1 + \omega_2^2 T_1^2}}$  och

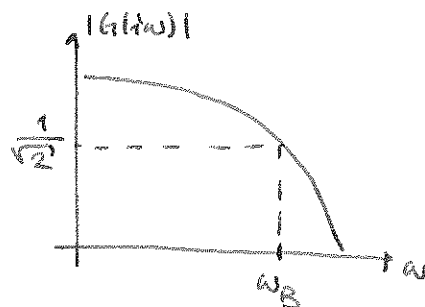
$$\varphi = \pi - \bar{\varphi} = \pi - (-\arctan \omega_2 T_1) = \pi + \arctan \omega_2 T_1.$$

b,  $u_0$  passerar också vårt filter.

Med sinus in  $\rightarrow$  sinus ut för vi ett  
allt frekvenskomponenter :  $u_0$  skelas  
med en faktor

$$|G(i\omega)| = \frac{1}{\sqrt{1 + \omega^2 T_1^2}}.$$

Eftersom  $|G(i\omega)|$  är  
avtagande kommer allt  
frekvenser större än  $\omega_B$  dämpas  
med mer än  $\frac{1}{\sqrt{2}}$ .



$$\frac{1}{\sqrt{2}} = |G(i\omega_B)| = \frac{1}{\sqrt{1 + \omega_B^2 T_1^2}} \Rightarrow$$

$$2 = 1 + \omega_B^2 T_1^2 \Rightarrow$$

$$\omega_B = \frac{1}{T_1}.$$

Vi har givet att  $u_0$  har frekvensinnehåll mellan  
0 och  $\frac{\pi}{T}$ , och att inget av detta ska dämpas  
mer än  $\frac{1}{\sqrt{2}}$ .

$$\Rightarrow \frac{\pi}{T} \leq \omega_B = \frac{1}{T_1}$$

$$\Rightarrow T_1 \leq \frac{T}{\pi}.$$

Dette er de  $p_0$  tidskonstanter i filteret  
 ger oss en <sup>minste</sup> amplitud  $p_0$

$$A = \bar{A} = \frac{1}{\sqrt{1 + \omega_2^2 T_1^2}} = \frac{1}{\sqrt{1 + \omega_2^2 \left(\frac{T}{\pi}\right)^2}}$$

hos signaler  $y_1$ .